

## بررسی عوامل موثر در تولید هالواستیک اسیدها و اندازه‌گیری غلظت آنها در آب خروجی تصفیه خانه‌های شهر تهران در نیمه اول سال ۱۳۸۹

امیر حسین محوی<sup>۱</sup>، نوشین راستکاری<sup>۲</sup>، رامین نبی زاده<sup>۳</sup>، شاهرخ نظم آرآ<sup>۴</sup>، سیمین ناصری<sup>۵</sup>، محبوبه قوچانی<sup>۶</sup>

دریافت: ۹۱/۰۱/۱۶ پذیرش: ۹۱/۰۳/۲۷

### چکیده

**زمینه و هدف:** معمول ترین روش گندزدایی آب کلرزنی است، واکنش کلر با ترکیبات آلی طبیعی که در طی فرایند تصفیه به خوبی حافظ نشاند منجر به تشکیل فراآورده‌های جانبی گندزدایی می‌شود. هالواستیک اسیدها بعد از تری هالومتان‌ها دومین فراآورده جانبی کلرزنی مهم در آب هستند. در بیشتر مطالعات صورت گرفته در ایران تری هالومتان‌ها مورد بررسی قرار گرفته‌اند، بنابراین ترکیبات حاضر برای اولین بار در ایران مورد پایش قرار گرفتند.

**روش بررسی:** نمونه برداری در ۶ ماه متولی (نیمه اول سال ۱۳۸۹) از آب سطحی و تصفیه شده شهر تهران انجام شد. در نمونه‌های آب سطحی دما، pH، جذب اشعه فرابنفش در nm ۲۵۴ و کل کربن آلی اندازه‌گیری شدند و در نمونه‌های آب تصفیه شده pH، کل آزاد باقی مانده و هالواستیک اسیدها مورد آنالیز قرار گرفتند.

**یافته‌ها:** نتایج مطالعه در شهر تهران نشان داد که غلظت کربن آلی در آب سطحی به ترتیب در فصل بهار و تابستان mg/L ۳۶، ۴۲ و ۳۴ و میزان هالواستیک اسیدها در فصل بهار و تابستان به ترتیب  $\mu\text{g}/\text{L}$  ۵۵/۵۶ و ۴۱/۷ است.

**نتیجه‌گیری:** نتایج نشان می‌دهند که غلظت مواد آلی طبیعی (NOM)، کل کربن آلی (TOC) و هالو استیک اسیدها (HAAs) در فصل بهار بیشتر از فصل تابستان است و میزان هالو استیک اسیدها به غلظت NOM و TOC وابسته است. با توجه به حد اکثر غلظت مجاز هالو استیک اسیدها (EPA) توسط  $\mu\text{g}/\text{L}$  ۶۰ می‌توان گفت در تمامی نمونه‌ها غلظت هالو استیک اسیدها از حد اکثر مجاز کمتر است ولی به دلیل نزدیک بودن مقادیر پایش شده به سطح استاندارد می‌تواند هشداری برای مسئولان مربوط در صنعت آب محسوب شود.

**واژگان کلیدی:** هالو استیک اسیدها، کل کربن آلی، جذب اشعه فرابنفش در nm ۲۵۴، آب، فراآورده‌های جانبی گندزدایی

- ۱- دکترای بهداشت محیط، استادیار دانشکده بهداشت دانشگاه علوم پزشکی تهران
- ۲- دکترای شیمی محیط زیست، دانشیار مرکز تحقیقات هوا پژوهشکده محیط زیست دانشگاه تهران
- ۳- دکترای بهداشت محیط، استاد دانشکده بهداشت دانشگاه علوم پزشکی تهران
- ۴- کارشناس ارشد بهداشت محیط، مسئول آزمایشگاه آلوگی هوا، دانشکده بهداشت دانشگاه علوم پزشکی تهران
- ۵- دکترای شیمی، استاد دانشگاه علوم پزشکی تهران
- ۶- (نویسنده مسئول): دانش آموخته کارشناسی ارشد بهداشت محیط، کارشناس مرکز سلامت محیط و کار، وزارت بهداشت، درمان و آموزش پزشکی mgh939@gmail.com

## مقدمه

مولکولی زیاد مانند اسید هیومیک و اسید فولویک در آب است.  $\text{SUVA}_{<2}$  بیان می کند که بیشتر اجزای مواد آلی طبیعی هیدروفیلیک است و  $\text{SUVA}_{>4}$  نشان می دهد که مواد آلی طبیعی حاوی اجزای هیدروفیل و هیدروفوب است (۳ و ۴). هالواستیک اسیدها دومین فراورده مهم جانبی کلرزنی در آب هستند. این ترکیبات آلی، غیر فرار با نفطه جوش  ${}^0\text{C}$ -۲۵۰،  $\text{pKa}=0.55-2.86$  و شامل ۹ ترکیب منو کلرو استیک اسید (MCAA)، دی کلرو استیک اسید (DCAA)، تری کلرو استیک اسید (TCAA)، منو برمو استیک اسید (MBAA)، دی برمو استیک اسید (DBAA)، تری برمو استیک اسید (TBAA)، برموکلرو استیک اسید (DCBAA)، دی کلرو برمو استیک اسید (BCAA)، دی برمو کلرو استیک اسید (DBCAA) هستند(۵). زمانی که آب گندزدایی شده حاوی یون برمايد باشد، برمن استیک اسیدها تشکیل می گردد(۶). حداقل غلظت مجاز برای مجموع ۵ ترکیب هالواستیک اسیدها در آب (منو کلرو استیک اسید، دی کلرو استیک اسید، تری کلرو استیک اسید، منو برمو استیک اسید، دی برمو استیک اسید) مطابق استاندارد سازمان حفاظت محیط زیست آمریکا در مرحله اول قانون گندزدایی مصوب سال ۱۹۸۸  $\mu\text{g/L}=60$  و در مرحله دوم  $\mu\text{g/L}=30$  بیان می گردد(۲). سازمان بهداشت جهانی میزان مجازی کلرو استیک اسید و تری کلرو استیک اسید را به ترتیب  $\mu\text{g/L}=50$  و  $\mu\text{g/L}=200$  بیان می نماید. تاکنون تحقیقات متعددی در ارتباط با حضور این ترکیبات در آب آشامیدنی صورت گرفته است. در تحقیق صورت گرفته توسط Lou و همکاران در سال ۲۰۱۰ در میانگین غلظت هالواستیک اسیدها در تصوفیه خانه های شماره او ۲ شهر Kaohsiung تایوان به ترتیب  $\mu\text{g/L}=50/59$  و  $\mu\text{g/L}=70/65$  گزارش گردید(۷). Malliarou و همکاران در سال ۲۰۰، میانگین میزان هالواستیک اسیدها در آب آشامیدنی ناحیه ای از انگلستان که توسط ۳ منبع آبی تامین می گردد  $\mu\text{g/L}=35/95$  و  $\mu\text{g/L}=244$  بیان می کنند(۸). Golfinopoulos و همکاران در سال ۲۰۰۵ میزان ترکیبات جانبی گندزدایی را در شهر آتن یونان مورد بررسی قرار دادند که بیشترین میزان این ترکیبات مربوط به تری کلرومتان، تری

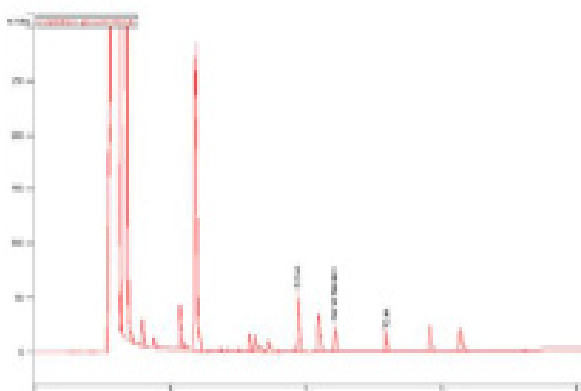
معمول ترین روش گندزدایی آب در جهان کلرزنی است که از دلایل عمدۀ استفاده از آن می توان به موثر بودن در غلظت پایین، ارزان بودن، در دسترس بودن و نیز داشتن باقی مانده در آب پس از عمل کلرزنی اشاره نمود. واکنش کلر با مواد آلی طبیعی (NOMs) که در طی فرایند تصفیه به خوبی حذف نمی شوند منجر به تشکیل ترکیبات آلی کلرینه می گردد که تحت عنوان فراورده های جانبی گندزدایی بیان می شوند. مواد آلی طبیعی (NOM) اصطلاحی است که برای توصیف ماتریس پیچیده ای از ترکیبات آلی به کار می رود، NOM به تنها یی بی ضرر ند، اما به واسطه واکنش با کلر و تشکیل فراورده های جانبی گندزدایی (DBPs) که اغلب سرطان زا هستند اهمیت ویژه ای می یابند(۱). تشکیل DBPs به غلظت NOM به عنوان عامل اصلی تشکیل دهنده بستگی دارد. ترکیبات NOM به دو جزء اصلی آبدوست غیرهیومیکی و آب گریزهیومیکی تقسیم می شوند. جزء آبدوست پتانسیل بالاتری در تشکیل هالواستیک اسیدها و اجزای آبگریز پتانسیل بالاتری در تشکیل تری هالومتانها دارند. از آنجایی که ویژگی های NOM از نظر فیزیکی و شیمیایی بسیار گستره است و هیچ تکنیک تجزیه ای به تنها یی قادر به شناسایی NOM نیست، از پارامترهای جانشین جهت توصیف ویژگی های NOM استفاده می شود. متدائل ترین پارامترهای مرتبط در این زمینه ۱- کربن آلی کل (TOC) و کربن آلی محلول (DOC)، ۲- جذب پرتو فرابنفش در طول موج  $254\text{ nm}$  و ۳- جذب ویژه فرابنفش Specific UV (Absorbance /L) SUVA هستند(۲). SUVA بر حسب  $\text{mg/L}$  از تقسیم جذب پرتو فرابنفش در طول موج  $\text{nm}$  بر حسب  $(\text{m}^{-1})$  بر مقدار DOC نمونه بر حسب  $\text{mg/L}$  محاسبه می شود و اندیکاتور خوبی برای پیش بینی مقدار کربن آروماتیکی و تشکیل فراورده های جانبی گندزدایی در آب است که افزایش مقدار کربن آروماتیکی مواد آلی طبیعی منجر به افزایش تشکیل فراورده های جانبی گندزدایی می گردد. در این مطالعه در محاسبه TOC، SUVA به جای کربن آلی محلول به دلیل پایین بودن کدورت آب مورد استفاده قرار گرفته است. SUVA  $>4$  نشان دهنده بالابودن بخش هیدروفوبیک مواد آلی طبیعی و بیانگر حضور مواد هیدروفوب و آروماتیک با وزن

ترکیبات در آب خروجی تصفیه خانه‌های شهر تهران بررسی شدند. از سطحی به صورت ماهیانه و در ۲ فصل (بهار و تابستان) نمونه برداشت گردید که در آن نمونه‌ها از نظر pH، جذب اشعه فرابنفش و کل کربن آلی مورد آزمایش قرار گرفتند. اشعه فرابنفش در طول موج ۲۵۴ nm و با استفاده از روش شماره ۵۹۱۰ کتاب استاندارد متد و توسط دستگاه اسپکتروفوتومتری Lambda25 و کل کربن آلی بر اساس روش شماره ۱۰۱۲۹ اوبر اساس روش رنگ سنجی بعد از اکسیداسیون پرسولفات و توسط دستگاه DR 5000 مورد آنالیز قرار گرفتند. عمل نمونه‌برداری و نگهداری نمونه‌های آب سطحی بر اساس توصیه‌های کتاب استاندارد متد برای آزمایشات آب و فاضلاب انجام گرفت (۲۰). به منظور تعیین مقدار هاللواستیک اسیدها، از آب‌های خروجی تصفیه خانه‌های شماره ۱، ۴ و ۵ هر ۲ هفته یک بار نمونه برداشت گردید. نمونه‌های آب برای تعیین هاللواستیک اسید در ویال‌های شیشه‌ای کهربایی رنگ با درپوش پیچی PTFE برداشت شدند. تعیین pH، دما، کلر آزاد باقیمانده در محل نمونه‌برداری انجام گرفت. اندازه‌گیری pH و کلر آزاد باقیمانده توسط کیت و با استفاده از قرص‌های phenol red و DPD صورت پذیرفت. نمونه‌ها در دمای ۰°C نگهداری و به آزمایشگاه منتقل و از نظر وجود ترکیبات هاللواستیک اسید مورد آنالیز قرار گرفتند. تعیین مقدار این ترکیبات را با روش شماره ۶۲۵۱ کتاب استاندارد متد به دلیل استفاده از دیازومتان و اثرات سمی آن در مقالات جدید امکان‌پذیر نیست. روش‌های تایید شده توسط سازمان حفاظت محیط زیست امریکا (۵۵۲/۲-۵۵۲/۳) هم به دلیل استفاده از حالاتی زیاد در انجام آزمایش، صرف زمان زیاد و هزینه بالا و در نظر گرفتن موضوع شیمی سبز که امروزه جایگاه ویژه‌ای دارد، مناسب نیست. بنابراین در این مطالعه به منظور دست‌یابی به ویژگی و حساسیت مطلوب جهت آنالیز دقیق این مواد از روش مشتق‌سازی استفاده شد. نتایج حاصل از آزمایشات با استفاده از نرم‌افزار (Linear regression) از آزمایشات با استفاده از Microsoft Office Excel و SPSS قرار گرفتند. در این تحقیق از دستگاه GC-ECD به عنوان وسیله آنالیز هاللواستیک اسیدها استفاده گردید. در روش‌های دستگاهی به علت تغییرات احتمالی در شرایط آزمایش (مثل تغییر در

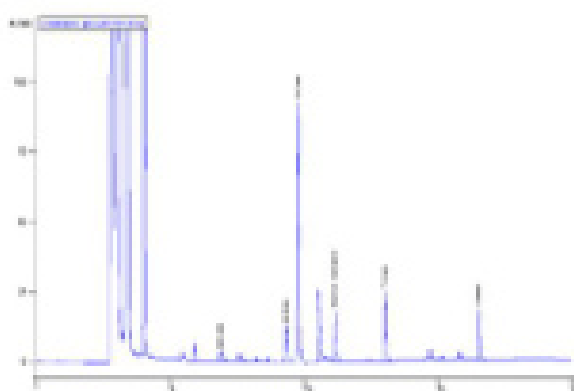
کلرواستیک اسید، دی کلرواستیک اسید و منوکلرواستیک اسید بود (۹). هم‌چنین مطالعاتی در ارتباط با وجود این ترکیبات و بروز سلطان‌ها، تاخیر در رشد، سقط زودرس، نقص‌های قلبی مادرزادی انجام گرفته است (۱۰-۱۳). تاثیرات بهداشتی ناشی از تماس با ترکیبات مختلف هاللواستیک اسید متفاوت است. به دلیل نبود اطلاعات کافی در مورد منوکلرو استیک اسید و منوکلرو استیک اسید این ترکیبات بعيد به نظر می‌رسند که برای انسان سلطان‌زا باشند، البته آزمایشاتی در این مورد بر روی راتها صورت گرفته که منجر به تغییراتی در کبد، کلیه و تغییرات وزنی شده است. دی کلرو استیک اسید به عنوان یک عامل هپاتوکسیک در حیوانات شناخته شده است (۱۴). ایجاد سلطان کبد در حیوانات ناشی از دی و تری کلرو استیک اسید به اثبات رسیده است (۶). سلطان‌زایی دی کلرو استیک ppm بیشتر از THMs است (۱۵). هم‌چنین تماس با ۲۷۳۰ تری کلرو استیک اسید در موش‌های ماده سبب نقص‌های قلبی در جنین آنها شده است (۱۶). در مطالعات صورت گرفته بر روی حیوانات جنس نر، دی کلرو استیک اسید و تری کلرو استیک اسید تاثیرات نامناسبی بر روی قدرت باروری را باعث می‌شوند (۱۷-۱۹). با توجه به مطالعه مذکور شده و این که در ایران تاکنون ترکیبات هاللو استیک اسیدها مورد بررسی واقع نشده‌اند، این ترکیبات در آب تصفیه شده شهر تهران مورد پایش قرار گرفتند. آب آشامیدنی شهر تهران توسط آب‌های سطحی و زیرزمینی تامین می‌گردد. آب سطحی عبارتند از رودخانه‌های کرج، لار و جاجrud که به ترتیب تامین‌کننده آب سد امیر کبیر (سد کرج)، سد لار و سد لتيان هستند. ۵ تصوفیه خانه آب در تهران وجود دارد که تصفیه خانه‌های ۱۹۱۰ از رودخانه کرج و تصفیه خانه‌های ۴۰۳ از رودخانه جاجrud (سد لتيان) و تصفیه خانه ۵ از رودخانه لار تغذیه می‌شوند. برای انجام این مطالعه از سطحی و آب تصفیه شده نمونه‌برداری صورت گرفت.

## مواد و روش‌ها

این تحقیق از نوع مطالعات بنیادی - کاربردی است که در آن عوامل موثر در تولید هاللواستیک اسیدها و غلظت این



شکل ۲: کروماتوگرام نمونه آب آنالیز شده از نظر وجود HAA تزریق شده به دستگاه GC



شکل ۱: کروماتوگرام استاندارد HAA با غلظت ۱۰۰ µg/L تزریق شده به دستگاه GC

ماتریکس آب بدین صورت است (زمان استخراج: ۲۷ min و دمای استخراج: ۶۰°C). به جهت استخراج آنالیت‌های موردنظر mL ۵ نمونه را در ویال ۱۰ mL ریخته شد. به منظور حذف فتالات و دیگر مواد آلی مداخله‌کننده در آنالیز، نمک سولفات سدیم به مدت ۲۴ ساعت در ۴۰°C قرار گرفت، تا زمان استفاده نمک سولفات سدیم در فور ۱۱۰°C نگهداری می‌شود. میزان ۵ g از این سولفات سدیم به نمونه آب افزوده می‌شود. مقدار  $\mu\text{L}$  ۲۵ استاندارد داخلی (۲-۳ در برمپروپیونیک اسید) و ۲۰۰ mg تترا بوتیل آمونیوم هیدروژن سولفات (TBA) به نمونه افزوده و درب کاملاً بسته شده. به فاصله کمتر از ۵ min قبل از آنالیز توسط دستگاه  $\mu\text{L}$  ۲۵۰ دی متیل سولفات (DMS) از طریق سپتوم و توسط سرنگ مخصوص در فضای خالی بالای ظرف تزریق گردید. جهت آنالیز از دستگاه گاز کروماتوگرافی مدل (capillary column) Varian cp-3800 با ستون‌های مویینه (50m, 0.32 mm id, 0.25  $\mu\text{m}$  film thickness) استفاده شد. تکنیک مورد استفاده Head space sampler مدل pal است.

کارایی ستون)، خطای در حجم تزریق، متغیر بودن یا کامل نبودن فرایند استخراج تعیین مقدار همراه با خطایست، بنابراین از استاندارد داخلی استفاده می‌شود که این خطایها را برطرف سازد. انتخاب استاندارد داخلی عموماً بدین صورت است که یک تشابه ساختمانی نزدیک بین استاندارد داخلی و نمونه مورد نظر وجود داشته باشد و خصوصیات آن مانند ترکیب تحت تجزیه باشد. ترکیب ۲-۳ دی برمپروپیونیک اسید به دلیل خواص و زمان بازداری مناسب به عنوان استاندارد داخلی انتخاب گردید. برای رسم منحنی کالیبراسیون ۶ غلظت  $\mu\text{g/L}$  ۱۰، ۲۰، ۴۰، ۶۰، ۱۰۰ و ۲۰۰ مجموع استاندارد هالواستیک اسیدها (MCAA-DCAA-TCAA-MBAA-DBAA) تهیه شد. محلول استوک استاندارد داخلی با غلظت ۱۰۰  $\mu\text{g/L}$  ۲-۳ دی برمپروپیونیک اسید در آب م قطر ساخته شد. سپس بعد از انجام مراحل استخراج به دستگاه GC-ECD تزریق شد. تمامی مراحل ۳ مرتبه برای هر غلظت تکرار شد. بعد از انجام تزریقات متعدد به دستگاه GC-ECD و با توجه به نتایج به دست آمده بهترین برنامه دمایی و نحوه استخراج آنالیت‌ها از

جدول ۱: میانگین غلظت مواد آلی طبیعی در منابع سطحی تهران در فصل بهار ۱۳۸۹

SUVA( $\text{L}/(\text{mg m})$ )	UV-254( $\text{A}_{\text{cm}}$ )	TOC( $\text{mg/L}$ )	pH	روز خانه
۰.۷۶	۰.۸۷	۷/۶۸	۷/۶	کرج
۰.۷۸	۰.۸۸	۷/۲۲	۷/۲۲	چاهروه
۰.۷۵	۰.۸۶	۷/۹	۷/۸	لار

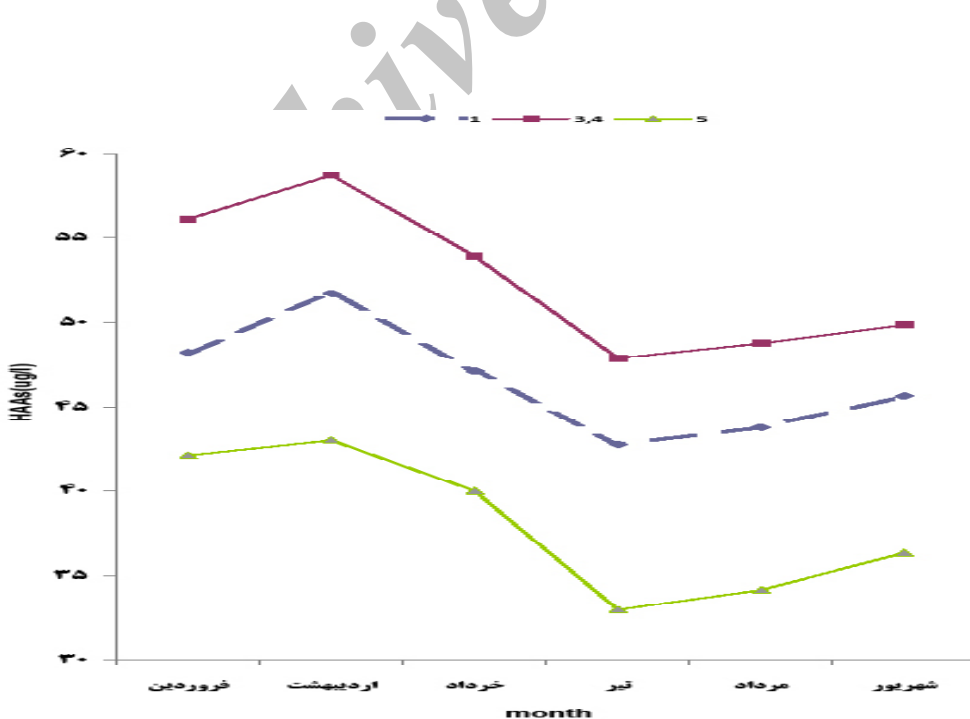
جدول ۲: میانگین غلظت مواد آلی طبیعی در منابع سطحی تهران در فصل تابستان ۱۳۸۹

روندخانه	pH	TOC(mg/L)	UV-254(1/cm)	SUVA(L/mg.m)
کرج	۷/۴۹	۶/۷۷۱	۰/۱۲۶۶	۲/۷۹
جادگرد	۷/۴۷	۶/۷۷۹	۰/۱۲۷	۲/۷۵
لار	۷/۴	۱/۷۷۸	۰/۰۴۷	۰/۷۲

### یافته ها

جدوال ۱ و ۲ میانگین غلظت مواد آلی طبیعی (TOC,UV-254,SUVA) در رودخانه های کرج، جاجرود و لار را در فصل بهار و تابستان نشان می دهند. حداقل و حداکثر غلظت TOC بر حسب میلی گرم در لیتر در ۶ ماهه اول سال ۱۳۸۹ در رودخانه کرج به ترتیب ۰/۵۹-۲/۰۹، در رودخانه جاجرود ۴/۶۷-۲/۷۲ و در رودخانه لار ۳/۸-۱/۶۲ است. حداقل و حداکثر UV-254 بر حسب (1/cm) در ۶ ماهه اول سال ۱۳۸۹ در رودخانه کرج به ترتیب ۰/۱۷۵۴-۰/۱۲۸۷ و در رودخانه لار ۰/۰۸۹-۰/۱۶۳۵ است. همان‌طور که مشاهده می گردد تغییرات زیادی در میزان pH در آب سطحی در فصل بهار و تابستان دیده نمی شود.

درجه وزمان انکوباسیون(Incubation Temperature) در این روش به ترتیب  $60^{\circ}\text{C}$  و  $30\text{ min}$  و چرخش انکوباتور  $750\text{ rpm}$  و سرعت تزریق  $250\text{ }\mu\text{l/s}$  است. در این روش از آشکار ساز ECD با دمای  $300^{\circ}\text{C}$  استفاده گردید. روش اصلی آزمایشگاهی روش اصلاح شده مقاله ارایه شده توسط Nitzel P.L و همکاران بود(۲۱). اطلاعات خروجی از دستگاه توسط نرم افزار Star6 که صاحب امتیاز آن شرکت varian است مورد پردازش قرار گرفت. در شکل ۱ و ۲ به ترتیب کروماتوگرام استاندارد HAAs با غلظت  $100\text{ }\mu\text{g/L}$  تزریق شده به دستگاه GC و کروماتوگرام نمونه آب آنالیز شده از نظر وجود HAAs به عنوان نمونه آورده شده است.



شکل ۳: میانگین غلظت TOC در منابع آب سطحی در ۶ ماه اول سال ۱۳۸۹

جدول ۳: میانگین غلظت هالواستیک اسیدها در آب های تصفیه شده توسط تصفیه خانه های آب تهران در فصل بهار ۱۳۸۹

تصفیه خانه آب	pH	کلر آزاد یا تو <sub>50</sub> ماند (mg/L)	HAAs (µg/L)	DCAA (µg/L)	TCAA (µg/L)
شماره ۱	۷/۶۶	۰/۸۸	۲۴/۱	۲۷/۴۲	۱۱/۰۸
شماره خانه ۲	۷/۶۷	۰/۹۷	۲۵/۰۹	۲۷	۱۱/۱۱
شماره ۵	۷/۶	۰/۸۸	۲۱/۷	۲۶/۴۶	۱۰/۷۸

در تصفیه خانه ۱ به ترتیب ۵۱/۶۹-۵۱/۷۶-۴۲/۷۶، در تصفیه خانه ۳ ۴۷/۸۷-۵۶/۷، در تصفیه خانه ۵ ۴۷/۸۷-۴۳/۰۱ است. همان‌طور که دیده می‌شود در میزان pH و مقدار کلر آزاد باقی‌مانده در خروجی تصفیه خانه های شهر تهران در فصل بهار و تابستان تغییرات محسوسی مشاهده نمی‌گردد ولی همان‌طور که شکل ۴ نشان می‌دهد در میزان HAAs تغییرات دیده می‌شود.

میزان مواد آلی طبیعی نیز در فصل بهار بیشتر از فصل تابستان در سطحی مشاهده می‌شود. شکل ۳ روند تغییرات میزان TOC را در ۶ آب سطحی در ماهه اول سال ۱۳۸۹ نشان می‌دهد.

جدول ۳ او ۴ میانگین غلظت ترکیبات هالواستیک اسیدها را در آب خروجی از تصفیه خانه های شماره ۱، ۲-۴ و ۵ شهر تهران در نیمه اول سال ۱۳۸۹ نشان می‌دهند. حداقل و حداکثر HAAs بر حسب میکروگرم در لیتر در ۶ ماهه اول سال ۸۹

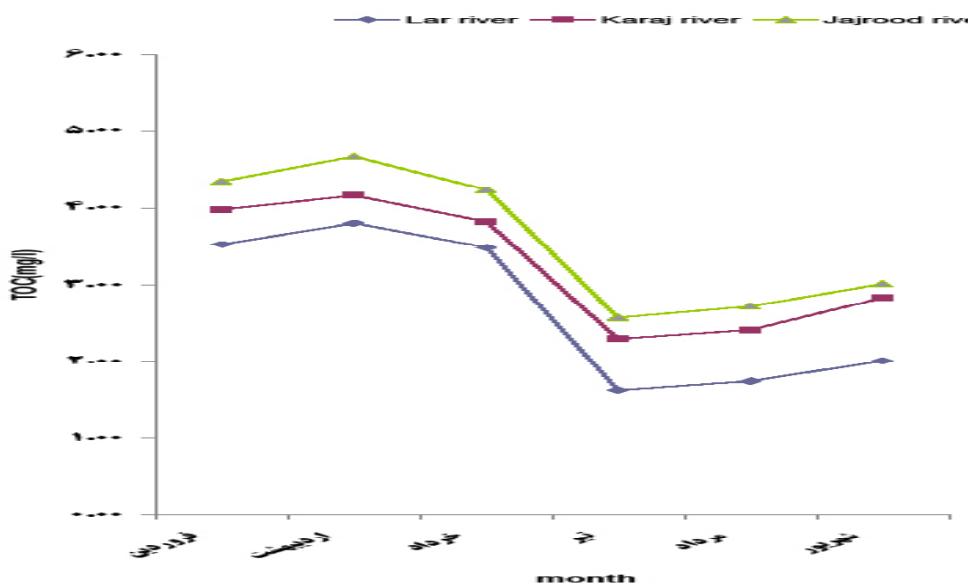
جدول ۴: میانگین غلظت هالواستیک اسیدها در آب های تصفیه شده توسط تصفیه خانه های آب تهران در فصل تابستان ۱۳۸۹

تصفیه خانه آب	pH	کلر آزاد یا تو <sub>50</sub> ماند (mg/L)	HAAs (µg/L)	DCAA (µg/L)	TCAA (µg/L)
شماره ۱	۷/۶۶	۱	۲۷/۴۷	۲۷/۱۴	۱۱/۰۹
شماره خانه ۲	۷/۶۷	۱	۲۷/۰۷	۲۷/۰۷	۱۱/۰۹
شماره ۵	۷/۶	۰/۹۷	۲۷/۰۷	۲۷/۴۶	۱۰/۷۸

## بحث

DOC بدليل پایین بودن کدورت آب مورد استفاده قرار گرفته است. SUVA در آب های سطحی تهران بیشتر از ۴ و بیان کننده اجزای هیدروفوبیک در آب است در مطالعه خصوصیات اجزای مواد آلی طبیعی در سطحی آب تهران که توسط Zazuli و همکاران در سال ۱۳۸۷ صورت گرفته است میانگین غلظت UV و DOC به ترتیب بر حسب میلی گرم در لیتر و (۱/cm) در نمونه های آب خام در رودخانه لار ۸/۵۳ و ۰/۲۰۱۹، در رودخانه جاجرود ۱۲/۹ و ۰/۴۹۹۲ و در رودخانه کرج ۱۱/۳ و ۰/۳۵۹۱ است. در این مطالعه SUVA بین ۲-۴ بود و نتایج اندازه گیری توزیع اجزای هیدروفوبیک و هیدروفیلیک NOM نشان می‌دهد که بخش هیدروفیلیک بیشتر است (۲۲). همچنین در مطالعه غلظت کربن آلی و پتانسیل تشکیل فراورده های

UV-TOC و SUVA را در آب سطحی تهران در فصل بهار و تابستان نشان می‌دهد. مقدار مواد آلی طبیعی توسط دو پارامتر TOC و UV-254 مشخص می‌گردد، همانطور که مشاهده می‌گردد میانگین میزان TOC بر حسب میلی گرم در لیتر در رودخانه کرج، جاجرود و لار در فصل بهار به ترتیب حدود ۳/۹۸ و ۴/۴۲ و ۳/۶ است و در فصل تابستان در رودخانه های ذکر شده به ترتیب ۲/۷۱، ۲/۷۶ و ۰/۷۸ مشاهده گردید. میانگین اشعه فرابنفش در ۲۵۴ نانومتر بر حسب (۱/cm) در رودخانه کرج، جاجرود و لار در فصل بهار به ترتیب ۰/۱۷۲۴، ۰/۱۸۲۹ و ۰/۱۶۱۶ و در فصل تابستان ۰/۱۳۲، ۰/۱۲۹۶ و ۰/۰۹۳ مشاهده گردیدند. در این مطالعه در محاسبه TOC، SUVA، pH بجای



شکل ۴: میانگین غلظت HAs در آب تصفیه شده توسط تصفیه خانه های شهر تهران در نیمه اول سال ۱۳۸۹

شماره ۱ و ۲ شهر Kaohsiung تایوان به ترتیب  $59/65 \mu\text{g/L}$  و  $59/70 \mu\text{g/L}$  دی کلرو و تری کلرو استیک اسید گونه های غالب این ترکیبات با درصد  $79\%$  و  $73\%$  مجموع هالواستیک اسیدها هستند (۷). میانگین غلظت سالانه منوکلرواستیک اسید، دی کلرو استیک اسید و تری کلرواستیک اسید در مطالعه ای که توسط Golfinopoulos و همکاران در سال ۲۰۰۵ در آتن یونان صورت گرفت به ترتیب  $1 \mu\text{g/L}$  و  $1 \mu\text{g/L}$  میزان مشاهده گردید (۹). میزان Kim هالواستیک اسیدها در مطالعه صورت گرفته توسط و همکاران در سال ۲۰۰۳ در کره شمالی  $6/23 \mu\text{g/L}$  و  $1/24 \mu\text{g/L}$  میزان گزارش گردید (۲۵).

حضور پیش سازهای تشکیل دهنده هالواستیک اسیدها حضور مواد آلی طبیعی به عنوان پیش ساز تشکیل فراورده های جانی گندزدایی بسیار مهم است. مقدار و نوع این فراورده ها بستگی به ویژگی های مواد آلی طبیعی دارد. تحقیقات انجام شده توسط Golfinopolous و همکاران در سال ۲۰۰۳ نشان داد که مواد آلی طبیعی شامل ترکیبات آلی متنوعی است و غلظت آن بسته به گیاهان نزدیک منبع آب، غلظت جلبک در آب و زمان سال تغییر می کند (۲۶). همانطوری که مشاهده می گردد غلظت کربن آلی و جذب اشعه فرابنفش در هر ۳ رودخانه در فصل بهار بیشتر از تابستان است و غلظت هالواستیک اسیدها

جانبی گندزدایی در آب شرب شبکه توزیع آب تهران که توسط Zazuli و همکاران در سال ۱۳۸۸ صورت گرفته نشان می دهد که در شبکه شهری غلظت TOC در تمام نمونه های برداشت شده از سطح شهر کمتر از  $1 \text{ mg/L}$  بوده است که وجود کربن آلی در شبکه توزیع دلالت بر این دارد که تصفیه خانه های موجود احتمالا قادر به حذف کامل مواد مولد کربن آلی از آب نیستند و بخشی از آنها وارد شبکه توزیع می گردد، همچنین در آب شرب تهران نسبت اجزای هیدروفوپریک کمتر از اجزا هیدروفیلیک است (۲۳). جدول ۳ و ۴ نشان می دهد که میانگین غلظت هالواستیک اسیدها بر حسب میکروگرم در لیتر نیز در آب های تصفیه شده توسط تصفیه خانه های شماره ۱، او ۴، ۵ در فصل بهار به ترتیب  $40/1 \mu\text{g/L}$ ،  $49/0 \mu\text{g/L}$  و  $41/7 \mu\text{g/L}$  در فصل تابستان  $73/4 \mu\text{g/L}$ ،  $73/3 \mu\text{g/L}$  و  $83/4 \mu\text{g/L}$  هستند. همچنین به علت پایین بودن یون بروماید در آب تنها ترکیبات دی و تری کلرو استیک اسید مشاهده می گردد. میزان هالواستیک اسیدها در تحقیقی که توسط Chang و همکاران در سال ۲۰۱۰ در تایوان انجام گرفت در فصل زمستان  $9/38 \mu\text{g/L}$  و در فصل تابستان  $7/46 \mu\text{g/L}$  گزارش شد. همچنین در این مطالعه گونه غالب هالواستیک اسیدها، دی کلرو و تری کلرو استیک اسید است (۲۴). در مطالعه صورت گرفته توسط Lou و همکاران در سال ۲۰۱۰، میزان هالواستیک اسیدها در تصفیه خانه های

بیفتند ولی حضور پیش سازهای مطلوب تشکیل هالواستیک اسیدها در فصل بهار و در زمان ذوب برف و بارش‌های بهاره دیده می‌گردد.

### حضور DCAA و TCAA در آب

در این پژوهش در همه نمونه‌ها فقط دی وتری کلرواستیک اسید مشاهده و ترکیبات برومینه یافت نشدند، همچنین در مطالعات مختلف صورت گرفته در تایوان(۷) و (۲۴)، کانادا(۹) و (۲۸)، یونان(۹)، کره جنوبی(۲۵)، ترکیه(۳) مشاهده شد که دی وتری کلرواستیک اسید گونه‌های اصلی و غالب حضور هالواستیک اسیدها هستند. در مطالعه انجام شده توسط Rodriguez (2004) تنها این دو گونه مشاهده گردیدند. واکنش پذیری برومین با مواد آلی طبیعی سریع‌تر از یون کلر است و تشکیل فرآورده‌های جانبی گندزدایی برومینه یا کلرینه در فرایند کلرزنی اساساً به نسبت یون برماید به یون کلر بستگی دارد. واکنش کلر و برم در فرایند کلرزنی رقابتی بوده و نسبت واکنش یون برم با مواد آلی طبیعی به کلر ۱۰:۱ است(۳۰)، لذا می‌توان گفت در تمامی آب‌های مطالعه شده غلظت یون برماید بسیار پایین است. با توجه به متفاوت بودن ویژگی‌های مواد آلی طبیعی و پیش سازهای دی وتری کلرواستیک اسید وجود تفاوت در غلظت و فصول قابل پیش‌بینی است. Rodriguez و همکاران در سال ۲۰۰۴ و ۲۰۰۷ کاهش میزان دی کلرواستیک اسید در آب تصفیه شده در تابستان را به علت فراهم بودن شرایط میکروبی مطلوب درون فیلتر در تصفیه خانه‌ها می‌دانند(۲۷) و (۲۹).

### نتیجه گیری

میزان هالواستیک اسیدها در آب تصفیه شده شهر تهران از میزان استاندارد EPA ( $60 \mu\text{g/L}$ ) کمتر ولی نزدیک به آنست که می‌تواند هشداری برای مسئولان صنعت آب محسوب گردد. همچنین میزان دی و تری کلرواستیک اسید پایین تر از مقادیر رهنمودی سازمان بهداشت جهانی است.

نیز در هر ۳ تصفیه خانه در فصل بهار بیشتر از تابستان است. مطالعات انجام شده توسط Uyak در ترکیه(۳)، Rodriguez در کانادا(۲۸) و Serodes در کانادا(۲۷) نیز نشان می‌دهند که بالاترین میزان پیش سازهای فرآورده‌های جانبی گندزدایی در فصل بهار مشاهده می‌گردد. به طور کلی حضور کل کربن آلی و جذب اشعه فرابنفش در  $254 \text{ nm}$  در آب بسته به نوع منبع آب، شرایط آب و هوایی و فصل متفاوت است و می‌توان یکی از دلایل مهم افزایش کربن آلی و جذب اشعه فرابنفش در فصل بهار را حضور رواناب‌های ناشی از بارندگی، رواناب‌های ناشی از ذوب لایه‌های بالایی یخ و برف‌ها را که عمولاً حاوی مواد هیومیکی هستند، دانست.

### تغییرات فصلی هالواستیک اسیدها

تغییرات فصلی فرآورده‌های جانبی گندزدایی با تغییر در مقدار مواد آلی طبیعی و ویژگی‌های منبع آب ارتباط دارد. همان طور که مشاهده می‌شود تغییرات pH، دما و میزان دوز کلر باقی‌مانده پارامتر تاثیر گذاری بر میزان هالواستیک اسیدها نیست، در واقع می‌توان گفت تغییرات هالواستیک اسیدها در طی فصول مختلف تابع تغییرات TOC و UV-254 است. Uyark و همکاران در سال ۲۰۰۸ بیان نمودند که افزایش DOC احتمالاً هالواستیک اسیدها بیشتری تولید می‌نماید(۳). نتایج آنالیز آماری رگرسیون در رودخانه کرج نشان می‌دهد که UV-254 و  $\text{sig} < 0.05$  است که نشان می‌دهد ارتباط زیادی بین این دو پارامتر وجود دارد، در آنالیز آماری مدل رگرسیون خطی برای هالواستیک اسیدها و TOC،  $R^2 = 0.615$  و  $\text{sig} = 0.06$  است، در آنالیز رگرسیون برای هالواستیک اسیدها و UV-254  $R^2 = 0.72$  و  $\text{sig} = 0.031$  است، لذا UV-254 به عنوان متغیر تاثیر گذار و اندیکاتور فعالیت پیش سازهای هالواستیک اسیدها در نظر گرفته می‌شود و به دلیل ارتباط زیاد بین UV-254 و TOC در مدل وارد نمی‌گردد. نتایج مدل رگرسیون در رودخانه جاجروم و لار نیز حاکی از ارتباط زیاد بین TOC و UV-254 است. ارتباط بین UV-254 و هالواستیک اسیدها نشان می‌دهد که با افزایش میزان UV-254 در فصل بهار میزان هالواستیک اسیدها هم افزایش می‌یابد. باوجود این که پیش‌بینی می‌گردد که تشکیل بیشتر هالواستیک اسیدها در دمای بالاتر (فصل تابستان) اتفاق

### تشکر و قدردانی

این مقاله حاصل از طرح تحقیقاتی مصوب مرکز تحقیقات محیط زیست دانشگاه علوم پزشکی تهران در سال ۸۸ با کد ۹۹۲۳-۴۶-۰۴-۸۸ با عنوان " بررسی غلظت هالواستیک اسیدها در آب آشامیدنی شهر تهران " است که با حمایت این مرکز اجرا شده است.

Archive of SID

## منابع

- 1.Krasner S, McGuire M, Jacangelo J, Patania N, Reagan K, Aiesta E. The occurrence of disinfection by-products in US drinking water. Journal American Water Works Association. 1989;81(8):41-53.
- 2.Crittenden J, Rhodes T, Hand D, Howe K, Tchobanoglous G. Water Treatment: Principles and design. 2nd ed. New York: John Wiley & Sons Inc; 2005.
- 3.Uyak V, Ozdemir K, Toroz I. Seasonal variations of disinfection by-product precursors profile and their removal through surface water treatment plants. Science of The Total Environment. 2008;390(2-3):417-24.
- 4.Ates N, Kaplan SS, Sahinkaya E, Kitis M, Dilek FB, Yetis U. Occurrence of disinfection by-products in low DOC surface waters in Turkey. Journal of Hazardous Materials. 2007;142(1-2):526-34.
- 5.Urbansky E. Techniques and methods for the determination of haloacetic acids in potable water. Journal of Environmental Monitoring. 2000;2(4):285-91.
- 6.Loops R, Barceló D. Determination of haloacetic acids in aqueous environments by solid-phase extraction followed by ion-pair liquid chromatography-electrospray ionization mass spectrometric detection. Journal of Chromatography A. 2001;938(1-2):45-55.
- 7.Lou J, Huang C, Han J, Huang Y. Generation of disinfection by-products (DBPs) at two advanced water treatment plants. Environmental Monitoring and Assessment. 2010;162(1):365-75.
- 8.Malliarou E, Collins C, Graham N, Nieuwenhuijsen M. Haloacetic acids in drinking water in the United Kingdom. Water Research. 2005;39(12):2722-30.
- 9.Golfinopoulos S, Nikolaou A. Survey of disinfection by-products in drinking water in Athens, Greece. Desalination. 2005;176(1-3):13-24.
- 10.Ivancev VT, Dalmacijam B, Tamas Z, Karlovic E. The effect of different drinking water treatment processes on the rate of chloroform formation in the reactions of natural organic matter with hypochlorite. Water Research. 1999;33(18):3715-22.
- 11.Yang C, Cheng B, Tsai S, Wu T, Lin M, Lin K. Association between chlorination of drinking water and adverse pregnancy outcome in Taiwan. Environmental Health Perspectives. 2000;108(8):765-68.
- 12.Cedergren M, Selbing A, Löfman O, Källen B. Chlorination byproducts and nitrate in drinking water and risk for congenital cardiac defects. Environmental Research. 2002;89(2):124-30.
- 13.Nieuwenhuijsen M, Toledano M, Eaton N, Fawell J, Elliott P. Chlorination disinfection byproducts in water and their association with adverse reproductive outcomes: a review. Occupational and Environmental Medicine. 2000;57(2):73-85.
- 14.Kato-Weinstein J, Lingohr M, Orner G, Thrall B, Bull R. Effects of dichloroacetate on glycogen metabolism in B6C3F1 mice. Toxicology. 1998;130(2-3):141-54.
- 15.Nikolaou A, Golfinopoulos S, Kostopoulou M, Lekkas T. Determination of haloacetic acids in water by acidic methanol esterification-GC-ECD method. Water Research. 2002;36(4):1089-94.
- 16.Johnson P, Dawson B, Goldberg S. Cardiac teratogenicity of trichloroethylene metabolites. Journal of the American College of Cardiology. 1998;32(2):540-45.
- 17.Cicmanec J, Condie L, Olson G, Wang S. 90-Day toxicity study of dichloroacetate in dogs. Fundamental and Applied Toxicology. 1991;17(2):376-89.
- 18.Linder R, Klinefelter G, Strader L, Suarez J, Dyer C. Acute spermatogenic effects of bromoacetic acids. Fundamental and Applied Toxicology. 1994;22(3):422-30.
- 19.Toth G, Kelty K, George E, Read E, Smith M. Adverse male reproductive effects following subchronic exposure of rats to sodium

- dichloroacetate. *Fundamental and Applied Toxicology*. 1992;19(1):57-63.
20. APHA, AWWA, WEF. *Standard Methods for the Examination of Water and Wastewater*. 20th ed. Washington, DC: APHA; 1998.
21. Neitzel P, Walther W, Nestler W. In-situ methylation of strongly polar organic acids in natural waters supported by ion-pairing agents for headspace GC-MSD analysis. *Fresenius' journal of Analytical Chemistry*. 1998;361(3):318-23.
22. Zazouli M, Nasseri S, Mesdaghinia A. Study of natural organic matter characteristics and fractions in surface water resources of Tehran. *Iranian Journal of Health and Environment*. 2008;1(1):1-7 (in Persian).
23. Zazouli MA, Nasseri S, Mahvi AH, Mesdaghinia A. Investigation of organic carbon content and determination of DBPs formation potential in drinking water of water distribution system of Tehran. *Iranian Journal of Health and Environment*. 2008;7(3):51-59 (in Persian).
24. Chang H, Tung H, Chao C, Wang G. Occurrence of haloacetic acids (HAAs) and trihalomethanes (THMs) in drinking water of Taiwan. *Environmental Monitoring and Assessment*. 2010;162(1):237-50.
25. Kim J, Chung Y, Shin D, Kim M, Lee Y, Lim Y, et al. Chlorination by-products in surface water treatment process. *Desalination*. 2003;151(1):1-9.
26. Golfinopoulos S, Nikolaou A, Lekkas T. The occurrence of disinfection by-products in the drinking water of Athens, Greece. *Environmental Science and Pollution Research*. 2003;10(6):368-72.
27. Rodriguez M, Serodes J, Roy D. Formation and fate of haloacetic acids (HAAs) within the water treatment plant. *Water Research*. 2007;41(18):4222-32.
28. Sérodes J, Rodriguez M, Li H, Bouchard C. Occurrence of THMs and HAAs in experimental chlorinated waters of the Quebec City area (Canada). *Chemosphere*. 2003;51(4):253-63.
29. Rodriguez MJ, Sérodes J-B, Levallois P. Behavior of trihalomethanes and haloacetic acids in a drinking water distribution system. *Water Research*. 2004;38(20):4367-82.
30. Westerhoff P, Chao P, Mash H. Reactivity of natural organic matter with aqueous chlorine and bromine. *Water Research*. 2004;38(6):1502-13.

## **Survey of the effective factors in the production of HAAs and measuring their concentration in the Tehran outlet water treatment plants in the first half of 2010**

**Amir Hossein Mahvi<sup>1,2</sup>, Noushin Rastkari<sup>3</sup>, Ramin Nabizadeh Nodehi<sup>1</sup>, Shahrokh Nazmara<sup>1</sup>, Simin Nasseri<sup>4</sup>,  
Mahboobeh Ghoochani<sup>5\*</sup>**

<sup>1</sup>Department of Environmental Health Engineering, School of Public Health and Institute for Environmental Research, Tehran University of Medical Sciences, Tehran, Iran.

<sup>2</sup>Centers for Solid Waste Research, Institute for Environmental Research (IER), Tehran University of Medical Sciences, Tehran, Iran.

<sup>3</sup>Centers for Air Pollution Research, Institute for Environmental Research (IER), Tehran University of Medical Sciences, Tehran, Iran.

<sup>4</sup>Centers for Water Quality Research, Institute for Environmental Research (IER), Tehran University of Medical Sciences, Tehran, Iran.

<sup>5</sup> Ministry of Health and Education, Tehran, Iran.

Received; 4 April 2012 Accepted; 16 May 2012

**Background and Objectives:** Chlorination is the most common method of water disinfection. Chlorine reaction with natural organic compounds nor removed completely during treatment process would result in forming disinfection byproducts. Followed by trihalomethanes, Haloacetic acids are the second main byproducts of chlorination in water. The research works conducted in Iran have assessed trihalomethanes. Hence, this is the first time we are reporting haloacetic acids in Iran.

**Materials and Methodology:** We collected samples from surface water resources and treated water in Tehran for six consecutive months (first half, 2010). We measured temperature, pH, UV adsorption at 254 nm and TOC in each surface water sample and analyzed pH, residual chlorine, and haloacetic acids in the treated water samples.

**Results:** We found that TOC in surface water resources is 3.6-4.42 and 1.78-2.71 mg/l in spring and summer respectively. Moreover, haloacetic acids concentration was found to be 41.7-55.56 and 34.83-43.73 µg/l in spring and summer respectively.

**Conclusion:** Our results revealed that concentration of NOM, TOC, and HAAs was more in spring than summer. In addition, concentration of HAAs was depended up on NOM and TOC. Considering maximum permissible concentration of HAAs (60 µg/l) by EPA, it can be claimed that concentration of HAAs was less than the maximum permissible level in all of the samples. However, the immaturity of the monitored values to the standard values can be a warning for concerned authorities in water industry.

**Keywords:** trihalomethanes, TOC, UV adsorption at 254 nm, water resources, disinfection byproducts

---

\*Corresponding Author: [mgh939@gmail.com](mailto:mgh939@gmail.com)  
Tel: +98 9398283601